

# 反应流与生物进化的模板自催化模型

汪培庄

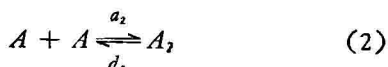
(北京师范大学数学系)

$$\begin{cases} \dot{I} = v_I - v_1 \\ \dot{A} = v_1 - 2v_2 \\ \dot{A}_2 = v_2 - v_3 \\ \dot{F} = v_3 - v_F \end{cases} \quad (6)$$

耗散结构理论着重研究反应扩散方程。单就反应项而言，现有的分析方法比较复杂，非确定性方程尤甚，急需寻求简明直观的分析途径。本着这一目的，本文提出一种反应(净)流速的分析方法，很不成熟。

以大分子单体聚合模型为例

聚合模型(C):



$I$  代表前身， $A$  代表单体， $A_2$  代表聚合物(二聚体)

## 1. 反应(净)流速

对每一化学反应式，定义反应(净)流速：

$$\begin{aligned} v_1 &= a_1 I - d_1 A \\ v_2 &= a_2 A^2 - d_2 A_2 \\ v_3 &= a_3 A_2 - d_3 F \end{aligned} \quad (4)$$

$v_i$  的单位是克分子数/时间单位，它代表第  $i$  反应式左端物种向右端物种转化的(净)速度。 $v_i$  可以取负值。

对应地可写出亲合势

$$\begin{aligned} f_1 &= \ln a_1 I - \ln d_1 A \\ f_2 &= \ln a_2 A^2 - \ln d_2 A_2 \\ f_3 &= \ln a_3 A_2 - \ln d_3 F \end{aligned} \quad (5)$$

$$\text{熵产生 } \sigma = \sum_i |\nu_i f_i|.$$

## 2. 反应方程

方程的列法是：物种  $x$  若在第  $i$  个反应式中出现，则在  $x$  的表达式中含有一项为  $K\nu_i$ ， $K$  等于反应式右端  $x$  的剂量系数减去左端  $x$  的剂量系数(可以为负)， $\nu_i$  与  $\nu_F$  是为表示边界条件而设立的。

边界条件 孤立系统：

$$\nu_I = \nu_F = 0 \quad (7)$$

稳定边界：

$$\dot{I} = 0, \text{ 从而 } \nu_I = \nu_1 \quad (8)$$

$$\dot{F} = 0, \text{ 从而 } \nu_F = \nu_3 \quad (9)$$

## 3. 反应流图

### (1) 孤立系统

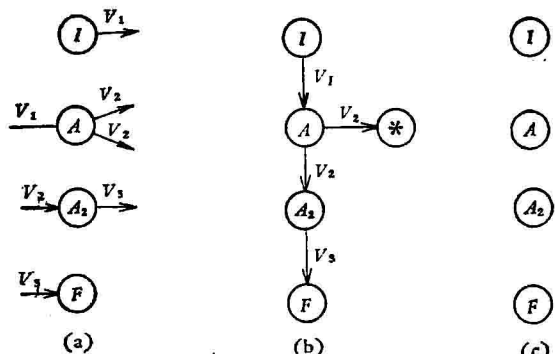


图 1

图 1(a) 中每一物种用一个圆圈表示，每个圆圈按反应方程联以出入箭头，标明流速  $v_i$ ，流速为  $K\nu_i$  ( $K > 1$ ) 的箭头，画  $K$  个以  $v_i$  为速度的箭头。

图 1(b) 中将 (a) 中各个圆圈联结起来，例

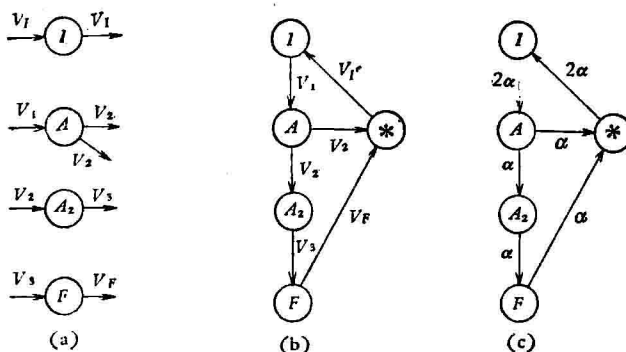


图 2

如

 $\textcircled{1} \xrightarrow{v_1}$  与  $\xrightarrow{v_1} \textcircled{2}$  联成  $\textcircled{1} \xrightarrow{v_1} \textcircled{2}$ 

从甲流出的某条箭头流速若与流至乙的其条箭头的流速，则可将这两个箭头合而为一。无法配偶的箭头，其空端都连接在一个附加的圈\*上。\*表示一个虚拟物种，也可以理解为化学反应系统的外在环境。

图 1(c) 中表示定态情形，这时，除\*以外，每一个圈都必须遵守克里荷夫定律，即流入速度等于流出速度，根据这一原则，可以确定各个 $v_i$ 的大小。 $v_i = 0$  表示第*i*种反应达到平衡，在图上不联箭头。

## (2) 稳定边界

### 4. 定态解

#### (1) 孤立系统

由

$$\begin{cases} v_I - v_1 = 0 \\ v_1 - 2v_2 = 0 \\ v_2 - v_3 = 0 \\ v_3 - v_F = 0 \\ v_I = v_F = 0 \end{cases} \quad (10)$$

得

$$v_I = v_1 = v_2 = v_3 = v_F = 0 \quad (11)$$

故定态解所满足的方程是

$$\begin{cases} a_1 I - d_1 A = 0 \\ a_2 A^2 - d_2 A_2 = 0 \\ a_3 A_2 - d_3 F = 0 \end{cases} \quad (12)$$

三个方程、四个未知数，若将  $I$  当作已知，可以确定  $A_2$  对  $I$  的定态依赖曲线。

## (2) 稳定边界

由

$$\begin{cases} v_I - v_1 = 0 \\ v_1 - 2v_2 = 0 \\ v_2 - v_3 = 0 \\ v_3 - v_F = 0 \\ v_I = v_1 \\ v_F = v_3 \end{cases} \quad (13)$$

得(参见图 2(c))

$$\begin{cases} v_I = v_1 = 2\alpha \\ v_2 = v_3 = v_F = \alpha \end{cases} \quad (\alpha \text{ 是任意参数}) \quad (14)$$

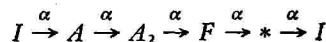
故定态解满足下面的方程：

$$\begin{cases} a_1 I - d_1 A = 2\alpha \\ a_2 A^2 - d_2 A_2 = \alpha \\ a_3 A_2 - d_3 F = \alpha \end{cases} \quad (15)$$

## 5. 反应环流

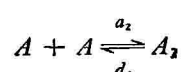
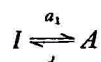
(11) 式说明，孤立系统的聚合过程要达到定态，是通过每个化学反应都达到平衡来实现的(此时熵产生 $\sigma = 0$ )；(14)式说明，有稳定边界的聚合过程，在各个化学反应不平衡的情况下，仍可取得定态(此时 $\sigma > 0$ )。两者有本质区别。

从流图上最容易看出这种区别，图 1(b) 中没有环路(首尾相接而不自交的通路)，按克里荷夫定律，很容易得出所有净流均为零的结论。图 2(b) 中有环路，在图 2(c) 中看得更清楚，整个流图可以分解为两个子图的叠加，一是环路



一是环路  $I \xrightarrow{\alpha} A \xrightarrow{\alpha} * \xrightarrow{\alpha} I$  (见图 3)。

在每一个环路中，净流速度取同一常数值，这样的环路称为反应环流。环流可以经过\*，叫做虚拟环流，否则称为真实环流，后者比前者更重要，我们再以模板自催化模型(TC)为例：



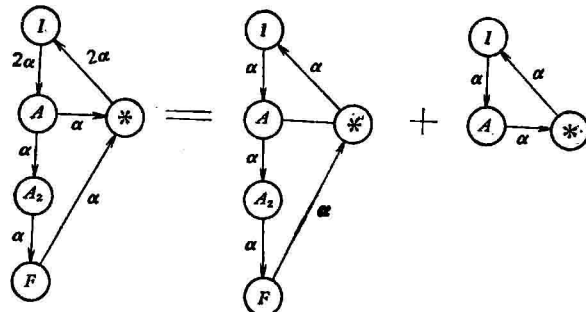
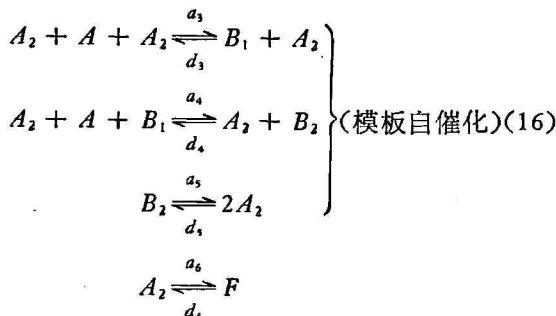


图 3



令

$$\left\{ \begin{array}{l} v_1 = a_1 I - d_1 A \\ v_2 = a_2 A^2 - d_2 A_2 \\ v_3 = a_3 A A_2^2 - d_3 B_1 A_2 \\ v_4 = a_4 A A_2 B_1 - d_4 A_2 B_2 \\ v_5 = a_5 B_2 - d_5 A_2^2 \\ v_6 = a_6 A_2 - d_6 F \end{array} \right. \quad (17)$$

反应方程

$$\left\{ \begin{array}{l} \dot{I} = v_1 - v_1 \\ \dot{A} = v_1 - 2v_2 - v_3 - v_4 \\ \dot{A}_2 = v_2 - v_3 + 2v_5 - v_6 \\ \dot{B}_1 = v_3 - v_4 \\ \dot{B}_2 = v_4 - v_5 \\ \dot{F} = v_6 - v_F \end{array} \right. \quad (18)$$

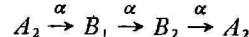
定态解 孤立系统(见图4(a)):

$$\left\{ \begin{array}{l} v_1 = v_1 = v_6 = v_F = 0 \\ v_3 = v_4 = v_5 = -v_2 = \alpha \end{array} \right. \quad (19)$$

稳定边界(见图4(b)):

$$\left\{ \begin{array}{l} v_3 = v_4 = v_5 = \alpha \\ v_2 = \beta \\ v_1 = v_1 = 2(\alpha + \beta) \\ v_F = v_6 = \alpha + \beta \end{array} \right. \quad (20)$$

图 4(不论(a)、(b))中含有环流



这是真实反应环流，它对应于模板自催化部分，正是它使(TC)模型具有使聚合物浓度跃增的能力。

从前面的例子(模型 C 与模型 TC)中，至少已经可以使人感到，有环流存在，是整个系统能达到非平衡反应的定态的前提，这有

[定理]在一个无反应环路的化学反应系统中，只能达到反应平衡的定态，要达到反应不平衡的定态，必要条件是有反应环流存在(证明从略)。

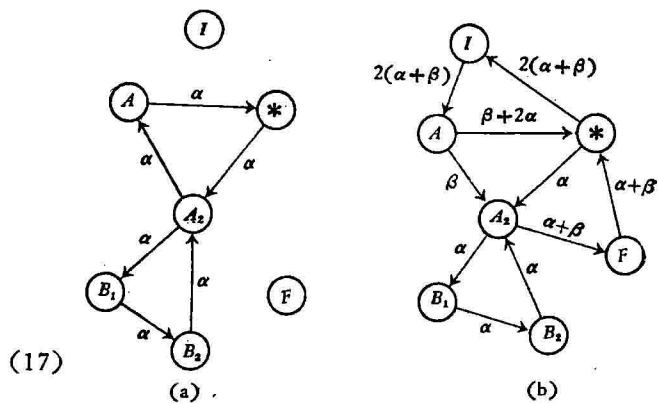


图 4

## 6. 随机过程

取参加反应的所有物种之集合为  $X$ ，例如，在模型 TC 中，取

$$X = \{I, A, A_2, B_1, B_2, F\}$$

如果能适当定义一个取值于  $X$  的随机过程  $\xi(t)$ ，使对任意  $x \in X$ ，有

$$P(\xi(t) = x) = \frac{x(t)}{\sum_{y \in X} y(t)} \quad (21)$$

式中  $x(t)$  表示物种  $x$  在时刻  $t$  的克分子浓度， $y(t)$  亦然。则  $\xi(t)$  可以用来描述反应过程。

$\xi(t)$  一般不具有马尔可夫性，如果  $\xi(t)$  是一个马氏过程，则反应环流正好对应于钱敏平提出的马氏概率环流。图 3 的反应环流分解对应于他提出的概率环流分解<sup>[3]</sup>。

由于化学反应中反应物的克分子浓度不一定守恒，概率环流分解不一定能引用，在一般情形下，一个反应流图可以分解为有限个环流与散流之和，这可参看本文作者的文章<sup>[4]</sup>。

## 7. 稳定性分析

以模型(c)为例，用矩阵表示，设

$$X^T = (I, A, A_2, F), V^T = (\nu_1, \nu_1, \nu_2, \nu_3, \nu_F) \quad (22)$$

$T$  表示矩阵的转置。有

$$\dot{X} = RV \quad (23)$$

其中

$$R = \begin{pmatrix} 1 & -1 & 0 & 0 & 0 \\ 0 & 1 & -2 & 0 & 0 \\ 0 & 0 & 1 & -1 & 0 \\ 0 & 0 & 0 & 1 & -1 \end{pmatrix} \quad (24)$$

记

$$S = \frac{\partial V}{\partial X} = \begin{pmatrix} \frac{\partial \nu_1}{\partial I} & \frac{\partial \nu_1}{\partial A} & \frac{\partial \nu_1}{\partial A_2} & \frac{\partial \nu_1}{\partial F} \\ \frac{\partial \nu_1}{\partial I} & \frac{\partial \nu_1}{\partial A} & \frac{\partial \nu_1}{\partial A_2} & \frac{\partial \nu_1}{\partial F} \\ \dots & \dots & \dots & \dots \\ \frac{\partial \nu_F}{\partial I} & \frac{\partial \nu_F}{\partial A} & \frac{\partial \nu_F}{\partial A_2} & \frac{\partial \nu_F}{\partial F} \end{pmatrix} \quad (25)$$

对孤立系统

$$S = \begin{pmatrix} 0 & 0 & 0 & 0 \\ a_1 & -d_1 & 0 & 0 \\ 0 & 2a_2A & -d_2 & 0 \\ 0 & 0 & a_3 & -d_3 \\ 0 & 0 & 0 & 0 \end{pmatrix} \quad (26)$$

$$D = R \cdot S \quad (27)$$

将定态解代入  $S$ ，若  $D$  的特征值均有负实部，则该定态解是稳定的，若  $D$  的特征值至少有一正实部，则该定态不稳定。

二

## 生物进化的模板自催化模型

在简单的自然条件下，从无机物有可能生成生物大分子的单体(如氨基酸、有机碱等)，这已被许多实验事实所证明。例如，1953年，Miller 从甲烷、氨、水蒸气、氢的混合物中放电得到丙

氨酸及甘氨酸，1963年 Ponomeruma 在类似条件下通过电离辐射得到腺嘌呤及鸟嘌呤。

有了生物大分子的单体，便可以聚合成生物大分子。再通过大分子间的竞争，导致物种的进化与选择，这便构成了生前进化论的主要轮廓。

一个十分重要的问题是：在单体聚合这个环节上，按照生前的自然条件，生物大分子单体前身的浓度是很低的，低浓度的前身怎样能聚合成足够数量的大分子？

Goldbeter 与 Nicolis 在 1972 年假设了一种化学反应机理，提出了模型 (TC)，说明在模板与自催化的联合作用下，前身分子浓度达到一定的临界值，可能出现二聚体浓度的跃增。

他们的分析结果，原则上可以用本文前述的方法获得，不作赘述。他们通过机器分别就模型 (C) 与 (TC) 画出  $A_2$  对前身  $I$  的定态依赖曲线。

图 5 给出模型 (C) 的曲线，当聚合速度  $a_2 = 10^{-4}$ ， $\lg A_2$  只处在  $10^{-8}$  的数量级上，要获得较高浓度的  $A_2$ ，需要将聚合速度提高到  $10^4$ ，这是不现实的。

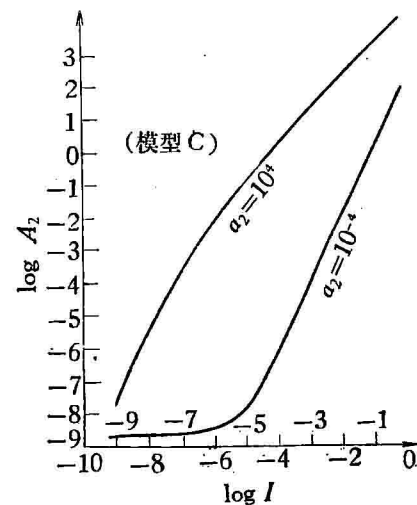


图 5

$$\begin{array}{ll} a_1 = 10^2 & d_1 = 1 \\ a_2 = 10^4 \text{ 或 } 10^{-4} & d_2 = \frac{1}{2} \times 10^{-10} \\ a_3 = a_4 = 10^4 & d_3 = d_4 = 10 \\ a_5 = 2 & d_5 = 1 \\ a_6 = 10^{-2} & d_6 = 10^{-2} \end{array}$$

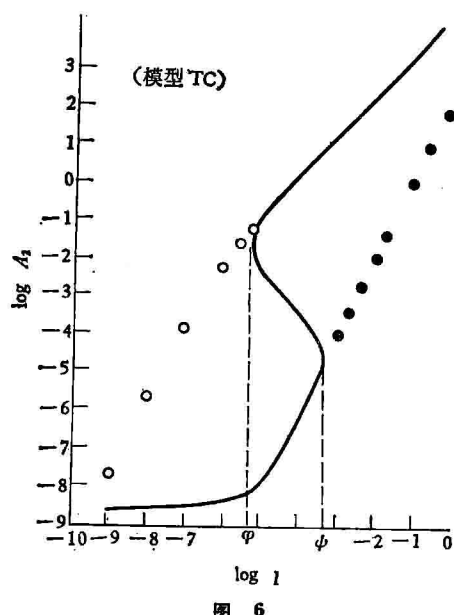


图 6

模型 (TC)。在图 6 中, 当  $\lg I < \phi$  (临界值), 曲线与模型 (C) 的下支 ( $a_2 = 10^{-4}$ ) 重合,

一旦  $\lg I > \phi$ , 曲线便跃增而与 (C) 的上支 ( $a_2 = 10^4$ ) 重合。模板与自催化的联合作用, 等于将聚合速度提高到原来的  $10^8$  倍。

$\lg I$  在  $(\varphi, \phi)$  内,  $A_2$  有三重定态解, 上下两支稳定, 中间一支不稳定, 模型 (TC) 具有耗散结构的特征。

本文得到刘若庄先生的启发指导, 并得到徐京华先生及王宝翰、黄惠慈等同志的热情支持, 谨表谢意。

## 参 考 文 献

- [1] Nicolis G. and Prigogine I.: *Self Organization in Non Equilibrium Systems*, 1977.
- [2] Goldbeter A. Nicolis G.: *Biophysik*, 8, 212, 1972.
- [3] Balaban A. T.: *Chemical Application of Graph Theory*, 1976, London.
- [4] 钱敏平: 马氏链的可逆与环流分解(见本期)。
- [5] 侯振挺、汪培庄: 概率流的分解定理(待发表)。

[本文于 1979 年 4 月 9 日收到]

# 生物大分子的自复制和耗散结构的形成

丁 达 夫

近代的理论生物学指出, 生命是结构和功能上高度有序的自复制和自组织的系统。为了解释生命须得首先澄清生命秩序的意义。按照平衡态热力学理论, 物质结构的形成仅能在充分低的温度下实现, 形成之后就与环境独立, 例如晶体。因此, 它不能用解释生命秩序的形成和演化。生命结构是个非平衡的动力体系, 它在常温下不断地与外界交换着物质和能量, 自我复制和自我组织。因为此种结构是在远离平衡态依靠耗散过程而形成和维持的, 故命名为耗散结构<sup>[1]</sup>。但是, 耗散结构在无机界也大有存在, 例如著名的 Bénard 现象<sup>[2]</sup>。那么, 生命体的耗散结构的形成有何深刻的特征呢<sup>[3]</sup>? 据比利时学派和其它学者的分析, 非线性项, 例如自催化和自复制, 在生命现象中是本质的。

至今, 在近代生物化学中, 真正具有自复

制能力的实体是生物大分子, 特别是 DNA 或 RNA。它们的复制反应机制已经知道。大分子是在模板上形成的, 模板是类似的大分子, 但是具有互补的碱基序列。本文试图以模板复制为模式研究它的耗散结构。

## 1. 模板复制的模式

模板复制的模式如图 1 所示,  $A$  和  $B$  是两条互补的核酸分子链 (DNA 或 RNA)。 $A$  链作

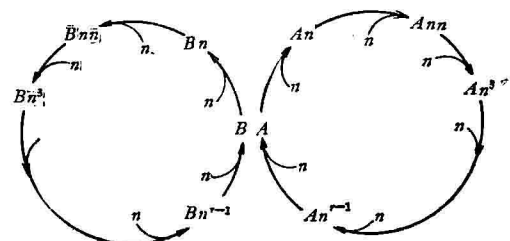


图 1